

피로성장거동의 응력비 영향에 관한 연구
 A Study on the Effect of Stress Ratio on Fatigue Crack Growth Behavior

최 용 식* 한 지 원** 김 규 성***
 Y.S.Choy J.W.Han K.S.Kim

ABSTRACT

In this study, a crack closure behavior of Al-alloy 5052-H38 was investigated. The fatigue test was performed by the four-point bending test under the constant amplitude load. Stress ratio R was changed from 0.1 to 0.5.

To measure the fatigue crack opening point, the graph of load vs. subtracted displacement by computer program was obtained from the X-Y plotter. In order to gain the displacement data, a strain gage was attached at the back surface against the notched side.

Using the conception of crack closure and influence of on crack growth rate a model for crack growth rate is developed for Al-alloy 5052-H38.

1. 서론

Irwin에 의한 균열선단의 응력확대계수(S.I.F.: Stress Intensity Factor) 개념의 발표이후 급속도로 선형탄성과파괴역학(L.E.F.M.: Linear Elastic Fracture Mechanics)이 체계화 되었고, 재료 강도 평가에 광범위하게 사용되고 있다.

1963년 Paris[1]는 균열성장속도 da/dN 을 다음과 같은 균열성장법칙으로 정리하였다.

$$\frac{da}{dN} = C (\Delta K)^m \quad (1.1)$$

여기에서, C, m은 재료상수이며 ΔK 는 응력확대계수 변동폭(Stress Intensity Factor Range)이다.

이 법칙들은 여러재료들에 광범위하게 적용되고 있으며, 균열은 하중이 작용하자마자 열리기 시작하여 하중이 완전히 제거되었을 때 닫힌다는 가정에 기초를 두고 있다.

*正會員 : 성균관대학교 기계공학과

**正會員 : 호서대학교 산업안전공학과

***正會員 : 성균관대학교 대학원 기계공학과

피로균열성장에 영향을 주는 균열단합 <Crack Closure>현상은 1970년 대초 Elber[3]에 의해 처음 제안되었다. 그는 균열장주위에는 압축잔류응력 <Compressive Residual Stress>이 작용하게 되어 하중이 최소응력레벨에 이르기전에 균열표면은 접촉하게 되므로, 균열단합현상이 발생한다고 보고하였다.

이러한 원리에 기초를 두고 Elber는, 피로균열 성장속도는 위의 (1.1)식 보다 균열단합현상을 고려한 유효응력확대계수 변동폭 ΔK_{eff} 를 사용하여 (1.2)식과 같이 표현하는 것이 보다 잘 해석된다고 하였다.

$$\frac{da}{dN} = C(\Delta K_{eff})^m = C(U\Delta K)^m \quad (1.2)$$

이러한 Elber의 제안 이후 균열단합현상은 많은 연구자들에 의하여 활발한 연구가 진행되었다 [3~10]. 현재까지 보고된 결과들은 다음과 같이 여러경향으로 나타났다. 몇몇 연구자들에 따르면 U값은 오직 R만의 함수이며 다른변수들에 대해 독립적이다[3~6]라고 하였고, 다른 연구자들은 U값이 K_{max} 과 R의 함수라 하였다. 모든 경우에 대하여, U값은 R값이 증가함에 따라 증가한다. 그러나, U에 대한 K_{max} 의 효과는 논쟁의 대상이 되고 있다.

즉, K_{max} 이 증가함에 따라, U가 증가한다[8

~10]는 보고와, U가 감소한다[7]는 보고가 있다.

현재까지 진행된, Al합금제의 균열단합 현상에 관한 연구들은 아직 초기단계라 할 수 있으며, 여러 Al-Alloy에 대한 실험결과들이 요구된다 할 수 있다.

따라서, 본 연구는, 내식성이 우수하여 해양구조물이나, 항공기의 연료탱크 제작에 많이 이용되는 Al-Alloy 5052-H38에 대한 정확한 균열성장식 제시를 그 목적으로 하며, Al-Alloy 구조물의 피로수명 예측과 건전성 평가에 관한 기초자료를 제공하고 균열단합현상이 피로균열 성장거동에 미치는 영향을 규명하고자 한다.

2. 실험

2.1 시편재료, 시험편 및 4점굽힘 Grip의 제작

본 연구의 시험편재료로는, 두께 10mm의 비열처리 가공경화 합금인 Al-Alloy 5052-H38을 사용하였다.

재료의 기계적 성질(Mechanical Properties)과 화학적 성분(Chemical Compositions)은 Table 2.1, Table 2.2와 같다.

본 실험에서는, 4점굽힘시험편 및 Grip제작에 있어 순수굽힘상태가 만족되도록 Fig.2.1과 같이 제작하였다[11]. 또한, 인장-압축하중 상태에서 시험편과 Grip사이에서 발생할 수 있는 충격하중을 방지하기 위해, 보울트를 죄어 베어링과 시험사가 잘 접촉되도록 하였다.

Table 2.1 Mechanical properties of specimens

tensile strength (Kg/mm ²)	yield strength (Kg/mm ²)	Young's modulus (Kg/mm ²)	elongation (%)
33.16	26.32	6861.66	14

Table 2.2 Chemical composition of 5052-H38 aluminum alloy

composition	Cu	Si	Fe	Mn	Mg	Zn	Cr	Ti	Al
wt. %	0.02	0.11	0.32	0.15	2.40	0.02	0.32	0.017	remainder

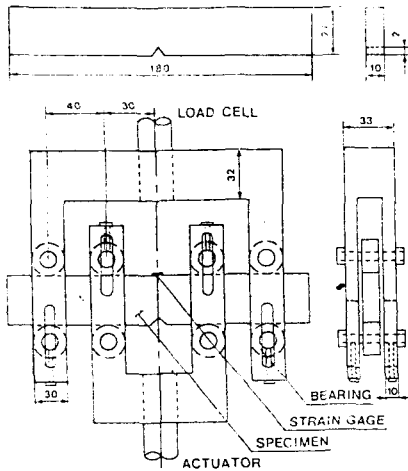


Fig.2.1 Geometry of specimens and grips

2.2 피로시험기 및 측정장치

본 연구에 사용한 시험기는 25ton 용량의 Instron Dynamic Test System Model 1332이며, 피로균열 측정장치로는 배율이 50배인 이동식 현미경을 이용하였다.

균열단립점의 측정을 위하여, Notch 반대편에 Gage Length 5mm 의 Strain Gage를 부착하였으며, A/D Converter 를 통하여 하중과 변위값을 얻은후 하중-감산변위의 선도를 X-Y Plotter를 통해 출력되도록 하였다. Fig.2.2는 본 실험의 실험장치를 나타낸다.

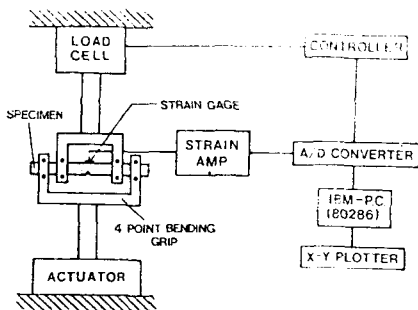


Fig.2.2 Schematic diagram of testing system

2.3 피로시험 조건, 방법

피로시험은, 실온(19°C)에서 일정진폭 정형파형의 하중제어 방식으로 하였으며, 최대하중 (P_{max})을 $0.25\sigma_u$ 이하인 390kg으로 하였다. 또한 응력비(R)의 변화는, P_{max} 을 고정하고 P_{min} 을 변화시키는 방법을 택하였다.

피로시험시 Pre-cracking은 실험시의 최대하중보다도 20% 큰 하중에서 5%씩 감소시키면서, 기계가공 Notch로부터 약 2mm의 길이로 넣었으며, 전체초기균열길이를 4mm로 한 다음 본실험에 들어갔다. 피로시험 조건은 Table.2.3과 같다.

각 시편에 대하여, R값을 -0.1, -0.5, 0.05, 0.3, 0.5로 변화시켜가며, 균열길이가 약 2mm진전할때 마다 하중-변위선도를 X-Y Plotter에 Plotting하였다.

2.4 단립하중의 측정

단립하중은 하중-감산변위로부터 얻었다. A/D Converter를 통해 컴퓨터로 입력된 하중, 변위 data들은 작성된 Program에 의해 하중-감산변위의 그래프를 플로터에 출력한다.

본 연구에 사용된 Program은 하중, 변위 data를 받는 부분은 assembly language로, 감산변위의 계산 및 Plotter지원부는 Basic언어로 구성하였다. 균열열림점의 결정에는 하중-감산변위 Graph의 천이점을 열림하중으로 결정하였다. Fig.2.3은 $R=0.05$ 일 경우에 Plotter를 통해 그려진 하중-감산변위의 Graph이며, 최대, 최소, 열림하중을 얻어낸 후식 (2.2)에 의해 유효응력확대계수 변동폭비 U값을 계산하였다.

$$U = \frac{P_{max} - P_{op}}{P_{max} - P_{min}} \quad (2.2)$$

3. 실험결과 및 고찰

3.1 피로시험 결과

일정하중폭($\Delta P = \text{Const.}$)하에서의 피로시험결

과를 반복 Cycle 수 (N)에 대한 균열성장길이(a)로 나타내면, Fig.3.1과 같다. 시편이 최종과단에 이르기까지의 반복 cycle수는 R=0.5인 시편이 가장 많고, 다음이 R=0.3, -1.0, -0.5, 0.05 순으로 나타났다. R=-1.0, -0.5인 경우가 R=0.05인 경우보다 균열성장속도가 느리게 나타난 것은 압축하중이 작용하는 동안에는 균열성장이 일어나지 않으며, 압축응력에 의한 균열닫힘점의 상승효과에 기인한다고 할 수 있다.

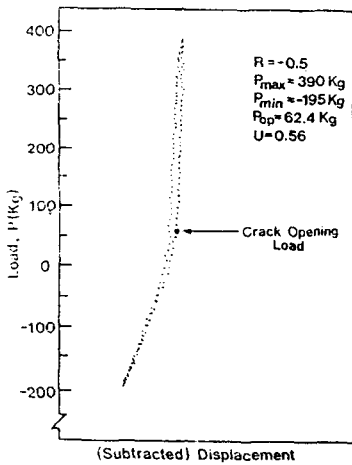


Fig.2.3 The graph of load-subtracted displacement

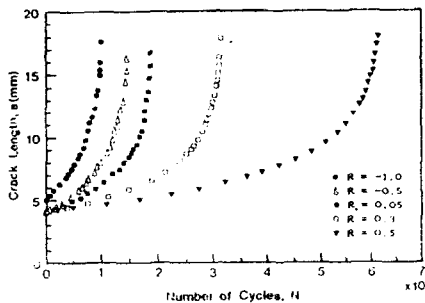


Fig.3.1 a-N relations

3.2 da/dN-ΔK 관계 고찰

Fig.3.2는 실험을 통해 얻어진 a-N 관계로부터 피로 균열성장 Fig.3.2 속도(da/dN)를 응력확대계

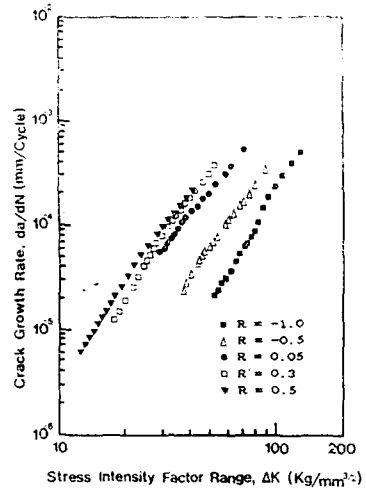


Fig.3.2 da/dN-ΔK relations

수 변동폭(ΔK)에 대하여 Log-Log좌표로 나타낸 것이다.

동일한 ΔK영역에서 응력비 R이 증가할수록, 피로균열성장속도 da/dN도 증가함을 알 수 있다. 이와같이 응력비 감소에 따른 피로 균열성장속도의 저하는, 소성영역과 파면거칠기에 의한 균열닫힘현상에 기인한다고 볼 수 있다.

또한, 하중형태가 인장-인장(R>0)인 경우에는 응력비(R)의 영향이 거의 없으나, 인장-압축(R<0)인 경우에는 응력비(R)의 영향이 현저함을 알 수 있다. 이러한 사실은 인장-인장인 경우에 비해 인장-압축인 경우, 압축하중이 작용하는 동안에는 균열이 닫혀있으므로, 균열닫힘현상이 보다 잘 일어남에 기인한다.

3.3 U-R 관계고찰

Fig.3.3은 각각의 R값에 대한 열림점을 측정하여, 응력확대계수변동폭비 U와 응력비 R과의 관계를 나타낸 것이다. 그림에서 알 수 있듯이 U는 R의 증가와 더불어 증가함을 알 수 있으며, R=0.5일 때는 U=1 즉, 균열닫힘현상은 존재하지 않음을 알 수 있다.

5개의 실험 data로부터 분수식 Curve Fitting방

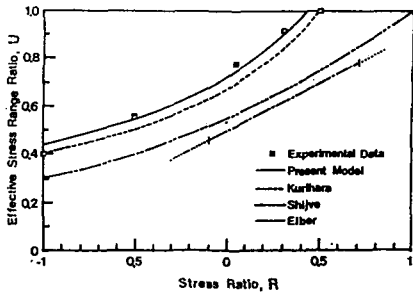


Fig.3.3 Comparison of U-R relationships

법을 이용하여 식(3.1)과 같은 실험식을 얻었다.

$$U = \frac{1.1}{1.53R} \quad -1 < R < 0.5$$

$$1 \quad R > 0.5 \quad (3.1)$$

이상의 연구결과들은 Kurihara 등의 연구결과와 비슷한 경향을 나타낸다.

3.4 da/dN-ΔK_{eff} 관계 고찰

균열단침현상을 고려한 유효응력확대계수변동쪽 ΔK_{eff}(=K_{max}-K_{op}) 를 도입하여, 피로균열성장속도 da/dN과 유효응력확대계수변동쪽 ΔK_{eff}와의 관계를 Fig.3.4에 나타냈다. 균열성장속도를 ΔK_{eff}로 정리하면, 안정성장영역의 data들이 da/dN-ΔK_{eff}곡선의 좌측으로 평행이동 함을 알 수 있으며, 이동후의 data들은 균열이 항상 열려 있는 것으로 나타난 R=0.5의 data들과 거의 일치함을 알 수 있다.

Fig.3.4와 같이 피로균열성장속도 da/dN은 전 ΔK_{eff}영역에서 응력 비에 관계없이 거의 동일한 값을 나타냄을 알 수 있다.

식 (3.1)의 U식을 ΔK_{eff}로 정리하면 다음과 같다.

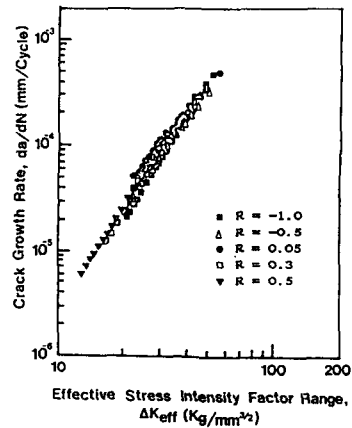


Fig.3.4 da/dN-ΔK_{eff} relations

$$\frac{da}{dN} = C (\Delta K_{eff})^m = C \left(\frac{1.1}{1.53R} \Delta K \right)^m \quad -1 < R < 0.5$$

$$\frac{da}{dN} = C (\Delta K_{eff})^m = C (\Delta K)^m \quad R > 0.5$$

(3.2)

Table 3.1은 da/dN-ΔK, da/dN-ΔK_{eff} 관계로부터 구한 C, m 값을 도시하였다. Table 3.1 Table과 같이 ΔK_{eff}로 평가하여도 m값에는 변화가 없음을 알 수 있다.

Table 3.1 Data of C, m in $\frac{da}{dN}$ -ΔK and $\frac{da}{dN}$ -ΔK_{eff} relations

Stress Ratio	ΔK		ΔK _{eff}	
	C	m	C	m
-1	4.23 × 10 ⁻¹¹	3.311	8.94 × 10 ⁻¹⁰	3.311
-0.5	7.26 × 10 ⁻¹⁰	2.900	3.90 × 10 ⁻⁰⁹	2.900
0.05	2.26 × 10 ⁻⁰⁹	2.978	4.76 × 10 ⁻⁰⁹	2.978
0.3	1.51 × 10 ⁻⁰⁹	3.155	1.96 × 10 ⁻⁰⁹	3.155
0.5	2.94 × 10 ⁻⁰⁹	3.033	2.94 × 10 ⁻⁰⁹	3.033

4. 결론

Al-합금재의 피로균열성장거동에 미치는 균열단 힘현상의 영향에 대하여, 응력비를 변수로 한 피로시험을 통하여 검토한 결과, 다음과 같은 결론을 얻었다.

- 1) 피로균열성장속도 da/dN 은 동일한 ΔK 에서 응력비 증가에 따라 상승하며, 균열단힘을 고려한 ΔK_{eff} 와의 관계에서는 전 ΔK_{eff} 영역에서 응력비에 관계없이 거의 동일한 값을 나타낸다.
- 2) Al-Alloy 5052-H38에 대한 유효응력확대계수 변동폭비 U 는 다음과 같이 R 만의 함수로 표현할 수 있다.

$$U = 1.1 / (1.53R) : -1 < R < 0.5$$

$$1: R > 0.5$$

- 3) Al-Alloy 5052-H38의 균열성장속도 da/dN 을 균열단힘현상을 고려한 ΔK_{eff} 로 정리하면, 다음과 같은 피로균열성장식을 얻을 수 있다.

$$\frac{da}{dN} = C (\Delta K_{eff})^m = C \left(\frac{1.1}{1.53R} \Delta K \right)^m : -1 < R < 0.5$$

$$\frac{da}{dN} = C (\Delta K_{eff})^m : R > 0.5$$

참고문헌

- (1) P. C. Paris and F. Erdogan, "A Critical Analysis of Crack Propagation Law", J. of Basic Engineering, Trans. of ASME, Vol.85, pp. 528~534, 1963
- (2) W. Hertzberg, "Deformation and Fracture Mechanics of Engineering Materials", John Willy & Sons, Inc., pp. 537~543, 1989
- (3) W. Elber, "The Significance of Fatigue

Crack Closure", ASTM STP 486, pp.230~242, 1971

- (4) M. Katcher and M. Kaplan, "Effect of R-Factor and Crack Closure on Fatigue Growth for Aluminum and Titanium Alloys", ASTM STP 599, pp. 264~282, 1974
- (5) J. Schijve, "Some Formulas for the Opening Stress Level", Eng. Fract. Mech., Vol. 14, pp. 461~465, 1981
- (6) M. Kurihara, A. Katoh and M. Kawahara, "Effect of Stress Ratio and Step Loading on Fatigue Crack Propagation Rate", Current Japanese Material Research, Vol. I, pp. 247~265, 1987
- (7) K. D. Unangst, T. T. Sghih and R. P. Wei, "Crack Closure in 2219-T851 Aluminum Alloy", Eng. Fract. Mech., Vol. 9, pp. 725~734, 1977
- (8) J. A. Vazquez, A. Morrone and J. C. Gasco, "A Comparative Experimental Study on the Fatigue Crack Closure Behavior under Cyclic Loading for Steels and Aluminum Alloys", ASTM STP 677, pp. 187~197, 1979
- (9) H. U. Staal and J. d. Elen, "Crack Closure and Influence of Cycle Ratio R on Fatigue Crack Growth in Type 304 STainless Steel at Room Temperature", Eng. Fract. Mech., Vol. 11, pp. 275~183, 1979
- (10) Y. P. Srivastava and S. B. L. Garg, "Influence of R on Effective Stress Range Ratio and Crack Growth", Eng. Fract. Mech., Vol. 22, /no. 6, pp. 915~926, 1985.
- (11) 최용식, 한지원, 김규성, "Al-합금재의 균열단 힘현상에 관한 연구", 대한기계학회 추계 학술대회 논문집, pp. 48~51, 1990.
- (12) H. Tada, P. C. Paris and G. R. Irwin, "The Stress Analysis of Cracks Handbook", Del Research Corporation, 1973